

تعمیم جدیدی برای توزیع وایبل معکوس

علی دوستمرادی^{*}، محمدرضا زادکرمی؛ دانشگاه شهید چمران اهواز، گروه آمار ولی بهرامی؛ دانشگاه علامه طباطبایی، تهران

دریافت ۹۴/۱/۲۵ پذیرش ۹۴/۷/۲۲

چکیده

میزان شکست از مفاهیم مهم در نظریه قابلیت اعتماد است. در این مقاله به ارائه توزیعی جدید چهار پارامتری بر مبنای توزیع وایبل معکوس می‌پردازیم. توزیع جدید به ازای مقادیر مختلف پارامترها شامل پنج نرخ شکست نزولی، صعودی، و ان شکل، تک نما و صعودی نزولی صعودی و همچنین تابع چگالی توزیع جدید نیز دومدی است. در این مقاله گشتاور مرکزی، تابع چگالی آمارهای تربیتی، پارامتر قابلیت اعتماد، ماتریس اطلاع، مشاهده، محاسبه و از روش ماکزیمم درستنمایی برای برآورد پارامترها استفاده شده است. با استفاده از دو مثال کاربردی به برتری توزیع پیشنهادی در مقایسه با توزیع‌های دیگر می‌پردازیم.

واژه‌های کلیدی: توزیع وایبل معکوس، توزیع تعیم یافته وایبل اصلاح شده، تابع نرخ شکست، گشتاورها، برآورد ماکزیمم درستنمایی

مقدمه

توزیع وایبل به علت داشتن نرخ شکست ثابت، نزولی و صعودی نقش مهمی در آنالیز داده‌های طول عمری ایفا می‌کند. با بسط توزیع وایبل، توزیع‌های جدیدی معرفی شده، که شامل میزان شکست‌های غیریکنوا می‌شود، و به عنوان رقیبی برای توزیع‌های دو پارامتری طول عمر رایج مانند وایبل، گاما و لگنرمال هستند. از جمله این تعیم‌ها می‌توان به توزیع‌هایی با نرخ شکست وان شکل هاپتا و اسکابل [۷]، توزیع‌های جدید بر مبنای وایبل راجارشی و راجارشی [۱۵]، توزیع وایبل نمایی مادهولکر و همکاران [۱۳]، توزیع وایبل تعیم یافته ذی و لای [۱۹]، ذی و همکاران [۲۰]، توزیع دو پارامتری با نرخ شکست صعودی و وان شکل برای طول عمر چن [۵]، توزیع وایبل اصلاح شده لای و همکاران [۱۰]، توزیع رایلی تعیم یافته کاندو و راکاب [۸]، توزیع بسط وایبل بیبینگتون و همکاران [۲]، توزیع وایبل اصلاح شده سارهان و زیندین [۱۶]، توزیع تعیم یافته وایبل کاراسکو و همکاران [۴]، توزیع بتا وایبل اصلاح شده سیلووا و همکاران [۱۷] و توزیع تعیم یافته وایبل معکوس فیلیپی و همکاران [۱۶] می‌توان اشاره کرد. در میان سایر نویسندهان فام و لای [۱۴] مرور خوبی بر توزیع‌های وایبل داشتند. در این مقاله به معرفی یک توزیع چهار پارامتری جدید بر مبنای توزیع کالر و کامث [۹] تحت عنوان تعیم جدید توزیع وایبل معکوس می‌پردازیم. شکل تابع چگالی توزیع جدید علاوه بر نزولی و تکمدی، دومدی نیز هست، همچنین تابع نرخ شکست‌های نزولی، صعودی، وان شکل تک نما و صعودی نزولی صعودی که این امر به انعطاف‌پذیری توزیع جدید افزوده است.

در این مقاله ابتدا به معرفی توزیع جدید، تابع بقا، تابع نرخ شکست، تابع گشتاور مرکزی، تابع چگالی آماره‌های ترتیبی، پارامتر قابلیت اعتماد و برآورد پارامترها به روش ماکزیمم درستنمایی می‌پردازیم و با استفاده از دو مثال کاربردی توزیع جدید را با برخی توزیع‌های تعمیم یافته و ایبل مقایسه می‌کنیم.

تعمیم جدید توزیع و ایبل معکوس

کالر و ماکث توزیع و ایبل معکوس $IW(\alpha, \gamma)$ ^۱ را بدین صورت معرفی کردند:

$$F(t) = e^{-\alpha t^{-\gamma}}, \quad \alpha > 0, \gamma > 0, t > 0$$

شکل تابع چگالی آن نزولی، تکمدی و شکل تابع نرخ شکست آن نزولی و تکنما است. توزیع جدید که بر مبنای توزیع کالر و ماکث است با عنوان تعمیم جدید توزیع و ایبل معکوس $GIW(\alpha, \beta, \gamma, \lambda)$ ^۲ بدین صورت تعریف می‌کنیم:

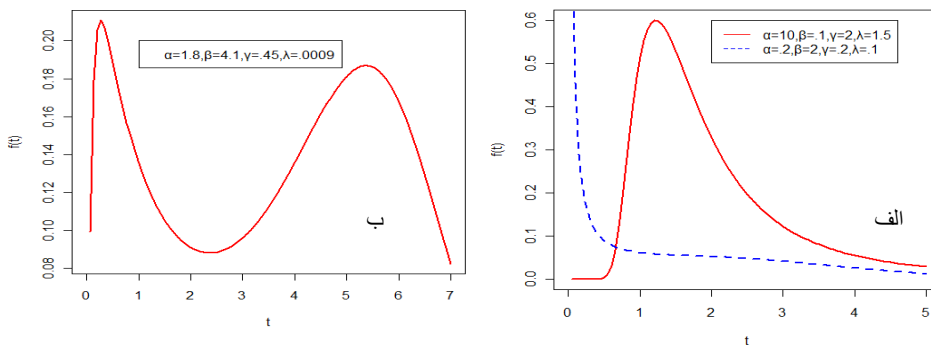
$$F(t) = e^{-\alpha t^{-\gamma} e^{-\lambda t^{\beta}}}, \quad \alpha > 0, \gamma > 0, \lambda > 0, \beta > 0, t > 0$$

تابع چگالی توزیع GIW بدین صورت است:

$$f(t) = (\alpha \gamma t^{-\gamma-1} e^{-\lambda t^{\beta}} + \alpha \beta \lambda t^{\beta-\gamma-1} e^{-\lambda t^{\beta}}) e^{-\alpha t^{-\gamma} e^{-\lambda t^{\beta}}}, \quad t > 0 \quad (1)$$

که در آن α و λ پارامترهای مقیاس و β و γ پارامتر شکل هستند.

شکل هندسی تابع چگالی توزیع جدید علاوه بر نزولی و تکمدی، دومدی نیز می‌شود. همچنین شکل هندسی تابع نرخ شکست توزیع جدید علاوه بر نزولی و تکنما، صعودی، و ان شکل، صعودی نزولی صعودی را نیز شامل می‌شود. در شکل ۱ فرم‌های مختلف تابع چگالی برای مقادیر انتخابی پارامترها رسم شده است.



شکل ۱. تابع چگالی احتمال توزیع GIW برای مقادیر مختلف پارامترها، (الف) تابع چگالی نزولی و تکنما، (ب) تابع چگالی دومدی

تابع بقا توزیع GIW بدین صورت به دست می‌آید:

$$S(t) = 1 - F_T(t) = 1 - e^{-\alpha t^{-\gamma} e^{-\lambda t^{\beta}}}, \quad t > 0$$

تابع نرخ شکست توزیع GW نیز بدین صورت است:

$$h(t) = \frac{f(t)}{S(t)} = \frac{(\alpha \gamma t^{-\gamma-1} e^{-\lambda t^{\beta}} + \alpha \beta \lambda t^{\beta-\gamma-1} e^{-\lambda t^{\beta}}) e^{-\alpha t^{-\gamma} e^{-\lambda t^{\beta}}}}{1 - e^{-\alpha t^{-\gamma} e^{-\lambda t^{\beta}}}}$$

شکل هندسی نرخ شکست تجربی داده‌ها براساس تبدیل TTT که بارلو و کامپو [۳] معرفی کردند، را رسم کردیم که کاربرد آن نوع نرخ شکست داده‌ها را مشخص می‌کند. تابع توزیع GIW دارای شکل‌های متنوع تابع

1. Inverse Weibull distribution
2. Generalized Inverse Weibull distribution

نرخ شکست، از جمله نزولی، سعودی، وان شکل، تکنما و سعودی نزولی سعودی است. شکل ۲ تابع نرخ شکست توزیع GIW به ازای مقادیر مشخصی از پارامترهای مختلف را نشان می‌دهد.

تابع گشتاور مرکزی

گشتاور مرکزی مرتبه r ام توزیع GIW بدین صورت به دست می‌آید:

$$\mu'_r = E(T^r) = \int_0^\infty t^r f(t; \theta) dt = \int_0^\infty t^r (\alpha\gamma t^{-\gamma-1} e^{-\lambda t^\beta} + \alpha\beta\lambda t^{\beta-\gamma-1} e^{-\lambda t^\beta}) e^{-\alpha t^{-\gamma} e^{-\lambda t^\beta}} dt \quad (2)$$

با جایگذاری رابطه با $e^{-\alpha t^{-\gamma} e^{-\lambda t^\beta}} = \sum_{i=0}^{\infty} \frac{(-\alpha)^i t^{-i\gamma} e^{-i\lambda t^\beta}}{i!}$ در (2) داریم:

$$\mu'_r = \sum_{i=0}^{\infty} \frac{(-1)^i \alpha^{i+1}}{i!} \int_0^\infty \left(\gamma t^{r-\gamma(i+1)-1} e^{-(\lambda+i\lambda)t^\beta} + \beta\lambda t^{r+\beta-\gamma(i+1)-1} e^{-(\lambda+i\lambda)t^\beta} \right) dt \quad (3)$$

با فرض $x = t^\beta$ داریم $dt = \frac{1}{\beta} dx$ آنگاه رابطه (3) را می‌توان بدین صورت نوشت:

$$\mu'_r = \sum_{i=0}^{\infty} \frac{(-1)^i \alpha^{i+1}}{i! \beta} \int_0^\infty \left(\gamma x^{\frac{r-\gamma(i+1)}{\beta}-1} e^{-(\lambda+i\lambda)x} + \beta\lambda x^{\frac{r+\beta-\gamma(i+1)}{\beta}-1} e^{-(\lambda+i\lambda)x} \right) dx$$

در نتیجه تابع گشتاور مرکزی مرتبه r ام توزیع GIW برابر است با:

$$\mu'_r = \sum_{i=0}^{\infty} \frac{(-1)^i \alpha^{i+1}}{i! \beta \gamma} \frac{\Gamma\left(\frac{r-\gamma(i+1)}{\beta}\right)}{(\lambda + i\lambda)^{\frac{r-\gamma(i+1)}{\beta}}} + \lambda \sum_{i=0}^{\infty} \frac{(-1)^{i+1}}{i!} \frac{\Gamma\left(\frac{r+\beta-\gamma(i+1)}{\beta}\right)}{(\lambda + i\lambda)^{\frac{r+\beta-\gamma(i+1)}{\beta}}}$$

تابع چگالی آماره‌های ترتیبی

تابع چگالی i امین آماره ترتیبی $X_{i:n}$ در نمونه تصادفی در اندازه n برای $i = 1, \dots, n$ برابر است با:

$$f_{i:n}(t) = \frac{1}{B(i, n-i+1)} f(t) F(t)^{i-1} (1 - F(t))^{n-i}$$

که $B(i, n-i+1)$ تابع بتا است با جایگذاری داریم.

$$f_{i:n}(t) = \frac{1}{B(i, n-i+1)} \left(\alpha\gamma t^{-\gamma-1} e^{-\lambda t^\beta} + \alpha\beta\lambda t^{\beta-\gamma-1} e^{-\lambda t^\beta} \right) e^{-\alpha(i-1)t^{-\gamma} e^{-\lambda t^\beta}} \left(1 - e^{-\alpha t^{-\gamma} e^{-\lambda t^\beta}} \right)^{n-i} \quad (4)$$

با جایگذاری بسط دو جمله‌ای $(1 - e^{-\alpha t^{-\gamma} e^{-\lambda t^\beta}})^{n-i} = \sum_{k=0}^{n-i} \binom{n-i}{k} (-1)^k e^{-k\alpha t^{-\gamma} e^{-\lambda t^\beta}}$ در رابطه (4) تابع

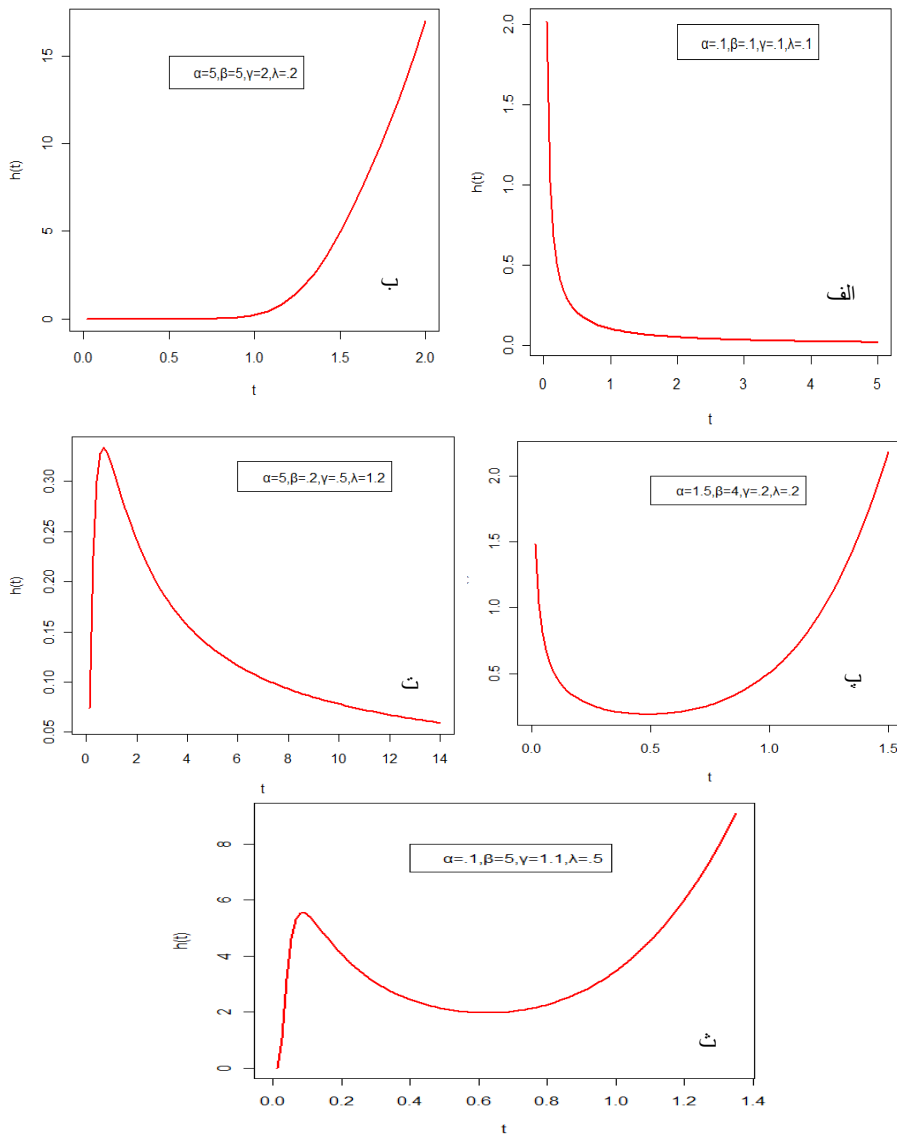
چگالی آماره‌های ترتیبی بدین صورت است:

$$f_{i:n}(t) = \frac{1}{B(i, n-i+1)} (\alpha\gamma t^{-\gamma-1} e^{-\lambda t^\beta} + \alpha\beta\lambda t^{\beta-\gamma-1} e^{-\lambda t^\beta}) \sum_{k=0}^{n-i} \binom{n-i}{k} (-1)^k e^{-\alpha(i-1+k)t^{-\gamma} e^{-\lambda t^\beta}}$$

$$= \sum_{k=0}^{n-i} W_{i,k} f_{i+k-1}(t)$$

که در آن $W_{i,k}$ وزن‌ها و $f_{i+k-1}(t) \sim GIW((i+k-1)\alpha, \beta, \gamma, \lambda)$ بین‌صورت است:

$$W_{i,k} = \frac{(-1)^k \binom{n-1}{k}}{(i+k-1)B(i, n-i+1)}$$



شکل ۲. نمودار تابع نرخ شکست توزیع GIW ، (الف) تابع نرخ شکست نزولی، (ب) تابع نرخ شکست صعودی، (پ) تابع نرخ شکست وان شکل، (ت) تابع نرخ شکست تک نما، (ث) تابع نرخ شکست صعودی نزولی صعودی

پارامتر قابلیت اعتماد

فرض کنید $(\lambda, \gamma, \beta, \alpha_2)$ بهطوری‌که $Y \sim GIW(\alpha_2, \beta, \gamma, \lambda)$ و $X \sim GIW(\alpha_1, \beta, \gamma, \lambda)$ دو متغیر تصادفی مستقل باشند و پارامتر قابلیت اعتماد بین‌صورت تعریف می‌شود:

$$\begin{aligned}
p(Y < X) &= \int_0^\infty f_X(x) F_Y(x) dx \\
&= \int_0^\infty (\alpha_1 \gamma t^{-\gamma-1} e^{-\lambda t^\beta} + \alpha_1 \beta \lambda t^{\beta-\gamma-1} e^{-\lambda t^\beta}) e^{-(\alpha_1+\alpha_2)t^{-\gamma} e^{-\lambda t^\beta}} dx \\
&= \frac{\alpha_1}{\alpha_2 + \alpha_1}
\end{aligned}$$

چنان‌که مشاهده می‌شود پارامتر قابلیت اعتماد به پارامترهای β و γ بستگی ندارد.

برآورد ماکزیمم درستنمایی

فرض کنید T_i متغیری تصادفی با بردار پارامتر $(\alpha, \beta, \gamma, \lambda)^T = \theta$ است. بر اساس نمونه تصادفی t_1, t_2, \dots, t_n لگاریتم تابع درستنمایی عبارتست از:

$$l(\theta) = \sum_{i=1}^n \ln \left(\alpha \gamma t_i^{-\gamma-1} e^{-\lambda t_i^\beta} + \alpha \beta \lambda t_i^{\beta-\gamma-1} e^{-\lambda t_i^\beta} \right) - \sum_{i=1}^n (-\alpha t_i^{-\gamma} e^{-\lambda t_i^\beta})$$

که با مشتق‌گیری از لگاریتم تابع درستنمایی بر حسب پارامترهای موجود این معادلات به دست می‌آید:

$$\begin{aligned}
l_\alpha(\theta) &= \frac{n}{\alpha} - \sum_{i=1}^n \frac{1}{t_i^\gamma \exp(\lambda t_i^\beta)} \\
l_\beta(\theta) &= \sum_{i=1}^n \frac{\lambda t_i^\beta}{\gamma + \beta \lambda t_i^\beta} - \lambda \sum_{i=1}^n t_i^\beta \log(t_i) + \sum_{i=1}^n \left(\frac{\beta \lambda t_i^\beta \log(t_i)}{\gamma + \beta \lambda t_i^\beta} + \frac{\alpha \lambda t_i^\beta \log(t_i)}{t_i^\gamma \exp(\lambda t_i^\beta)} \right) \\
l_\gamma(\theta) &= \sum_{i=1}^n \frac{1}{\gamma \beta \lambda t_i^\beta} - \sum_{i=1}^n \log(t_i) + \sum_{i=1}^n \frac{\alpha \log(t_i)}{t_i^\gamma \exp(\lambda t_i^\beta)} \\
l_\lambda(\theta) &= \sum_{i=1}^n \frac{\beta t_i^\beta}{\gamma + \beta \lambda t_i^\beta} - \sum_{i=1}^n t_i^\beta + \sum_{i=1}^n \frac{\alpha t_i^\beta}{t_i^\gamma \exp(\lambda t_i^\beta)}
\end{aligned}$$

برآورد ماکزیمم درستنمایی پارامترها از حل معادلات غیرخطی $l_\lambda = 0, l_\beta = 0, l_\gamma = 0, l_\alpha = 0$ به دست می‌آید. اما معادلات درستنمایی فرم بسته‌ای ندارند و معادلات را باید با روش‌های عددی حل کرد. برای تشکیل فواصل اطمینان و انجام آزمون فرض در باره پارامترها نیاز به محاسبه ماتریس اطلاع داریم. با توجه به این‌که محاسبه ماتریس اطلاع موردنظر بسیار پیچیده و نیازمند محاسبه انتگرال‌ها به مرور عددی است، می‌توان از ماتریس اطلاع مشاهده شده $J(\hat{\theta})$ که بدین صورت به دست می‌آید استفاده کنیم.

$$J(\hat{\theta})^{-1} = - \begin{pmatrix} \widehat{L_{\alpha\alpha}} & \widehat{L_{\alpha\beta}} & \widehat{L_{\alpha\gamma}} & \widehat{L_{\alpha\lambda}} \\ \cdot & \widehat{L_{\beta\beta}} & \widehat{L_{\beta\gamma}} & \widehat{L_{\beta\lambda}} \\ \cdot & \cdot & \widehat{L_{\gamma\gamma}} & \widehat{L_{\gamma\lambda}} \\ \cdot & \cdot & \cdot & \widehat{L_{\lambda\lambda}} \end{pmatrix}^{-1} = \begin{pmatrix} \text{Var}(\hat{\alpha}) & \text{Cov}(\hat{\alpha}, \hat{\beta}) & \text{Cov}(\hat{\alpha}, \hat{\gamma}) & \text{Cov}(\hat{\alpha}, \hat{\lambda}) \\ \cdot & \text{Var}(\hat{\beta}) & \text{Cov}(\hat{\beta}, \hat{\gamma}) & \text{Cov}(\hat{\beta}, \hat{\lambda}) \\ \cdot & \cdot & \cdot & \text{Var}(\hat{\gamma}) & \text{Cov}(\hat{\gamma}, \hat{\lambda}) \\ \cdot & \cdot & \cdot & \cdot & \text{Var}(\hat{\lambda}) \end{pmatrix}$$

برای نمونه‌هایی با اندازه بزرگ برآورد مکرریم درستنامی پارامترها، $(\hat{\lambda}, \hat{\beta}, \hat{\gamma}, \hat{\alpha}) = \hat{\theta}$ ، تحت شرایط نظم (لهمن و کسلا [۱۱]) دارای توزیع مجذبی نرمال چهار متغیره با میانگین θ و ماتریس واریانس-کوواریانس برابر عکس ماتریس اطلاع فیشر(θ)^I است. ماتریس اطلاع فیشر(θ)^I با گرفتن امید ریاضی از ماتریس اطلاع مشاهده شده (θ)^J به دست می‌آید، چون ماتریس اطلاع مورد انتظار بسیار پیچیده و نیازمند حل انتگرال‌ها به روش عددی است می‌توان آن را با $(\hat{\theta})^J$ جایگزین کرد. بنابراین توزیع مجذبی بدین صورت است:

$$\sqrt{n}(\hat{\theta} - \theta) \sim N_4(0, J(\hat{\theta})^{-1}) \quad (5)$$

از آزمون نسبت درستنامی (LRT) می‌توان برای مقایسه توزیع GIW با زیر توزیع آن استفاده کرد، در این حالت می‌توانیم مقدارهای مکرریم درستنامی را تحت محدودیت و غیرمحدودیت محاسبه کنیم. برای مثال آزمون $0 : H_0 = \lambda : \lambda \neq 0$ در مقابل H_1 معادل با مقایسه توزیع IW با GIW است که آماره نسبت درستنامی آن برابر است با:

$$W = 2\{l(\hat{\lambda}, \hat{\beta}, \hat{\gamma}, \hat{\alpha}) - l(0, \tilde{\beta}, \tilde{\alpha}, \tilde{\gamma})\}$$

$\hat{\alpha}, \hat{\beta}, \hat{\gamma}, \hat{\lambda}$ برآورد مکرریم درستنامی پارامترها تحت فرض H_1 و $\tilde{\alpha}, \tilde{\beta}, \tilde{\gamma}, \tilde{\lambda}$ برآورد مکرریم درستنامی پارامترها تحت فرض H_0 است.

مثال‌های کاربردی

در این بخش دو مثال کاربردی برای مقایسه توزیع جدید با دیگر توزیع‌های معرفی شده برای داده‌های طول عمر تجزیه و تحلیل می‌شوند.

۱. مثال اول

مؤسسه بازآموزی و اصلاح بزهکاران کلمبیا در ابتکاری برای جلوگیری از تکرار جرم روشن در مواجه با این مشکل در جامعه استفاده کردند. این مؤسسه بهطور اتفاقی تعدادی مجرم را با شرط تکرار نکردن جرم آزاد می‌کند. داده‌ها جدول ۱ زمان تکرار به جرم (به روز) ۵۱ مجرم هستند. این داده‌ها را استولماک و هریس^۳ (۱۹۷۴) [۱۸] تجزیه و تحلیل کردند. با برآش این توزیع‌ها به داده‌ها با استفاده از معیار اطلاع آکائیک (AIC^۴) و معیار اطلاع بیزی (BIC^۵) به مقایسه مدل‌های برآش شده با استفاده از این توزیع‌ها می‌پردازیم. برآورد پارامترها با استفاده ازتابع fminsearch با نرم‌افزار متلب محاسبه شدند.

جدول ۱. داده‌های زمان تکرار به جرم

| | | | | | | | | | | | | | | | | | | |
|-----|-----|-----|-----|-----|-----|-----|-----|-----|-----|-----|-----|-----|-----|-----|-----|----|----|----|
| 18 | 18 | 18 | 18 | 18 | 21 | 32 | 36 | 40 | 46 | 46 | 47 | 60 | 66 | 88 | 88 | 89 | 93 | 96 |
| 107 | 112 | 116 | 122 | 147 | 160 | 161 | 177 | 179 | 190 | 204 | 207 | 221 | 233 | 240 | 246 | | | |
| 247 | 264 | 267 | 272 | 283 | 291 | 301 | 307 | 320 | 337 | 343 | 362 | 362 | 367 | 396 | | | | |
| 421 | | | | | | | | | | | | | | | | | | |

3. Stollmack and Harris

4. Akaike Information Cnteria

5. Bysian Information Cnteria

جدول ۲. چند توزیع تعیین یافته بر پایه توزیع واپل

| تابع چگالی | توزیع |
|---|---|
| $f(t) = \frac{1}{B(a,b)} G(t)^{a-1} \{1 - G(t)\}^{b-1} g(t), t > 0, a > 0, b > 0$ $G(t) = 1 - e^{-\alpha t^\gamma \exp(\lambda t)}, t > 0, \alpha > 0, \gamma > 0, \lambda > 0$ $g(t) = \alpha t^{\gamma-1} (\gamma + \lambda t) \exp(-\lambda t - \alpha t^\gamma \exp(\lambda t)),$ | بنا و اپل اصلاح شده (BMW)، سیلو و همکاران (۲۰۱۰) |
| $f(t) = \frac{\alpha \beta t^{\gamma-1} (\gamma + \lambda t) \exp(-\lambda t - \alpha t^\gamma \exp(\lambda t))}{\{1 - e^{-\alpha t^\gamma \exp(\lambda t)}\}^{1-\beta}}, t > 0, \alpha > 0, \lambda > 0, \gamma > 0, \beta > 0$ | تعیین واپل اصلاح شده (GMW) کاراسکو و همکاران (۲۰۰۸) |
| $f(t) = \frac{1}{B(a,b)} G(t)^{a-1} \{1 - G(t)\}^{b-1} g(t), t > 0, a > 0, b > 0$ $G(t) = 1 - \exp(-\alpha t^\gamma), \alpha > 0, \gamma > 0, \lambda > 0$ $g(t) = \alpha \gamma t^{\gamma-1} \exp(-\alpha t^\gamma)$ | بنا و اپل (BW)، لی و همکاران (۲۰۰۷) |
| $f(t) = 2\alpha \beta t \exp(-\alpha t^2) \{1 - \exp(-\alpha t^2)\}^{\beta-1}, t > 0, \alpha > 0, \beta > 0$ | راپلی تعیین یافته (GR)، کاندو و راکاب (۲۰۰۵). |
| $f(t) = \alpha t^{\gamma-1} (\gamma + \lambda t) \exp(-\lambda t - \alpha t^\gamma \exp(\lambda t))$ | توزیع واپل اصلاح شده (MW)، لای و همکاران (۲۰۰۳) |
| $f(t) = \alpha \beta \gamma t^{\gamma-1} \exp(-\alpha t^\gamma) \{1 - \exp(-\alpha t^\gamma)\}^{\beta-1}, t > 0, \alpha > 0, \gamma > 0, \beta > 0,$ | واپل نمایی (EW)، مادهولکر و همکاران (۱۹۹۶-۱۹۹۵). |

جدول ۳. برآورد ماکریم درستنمایی پارامترها

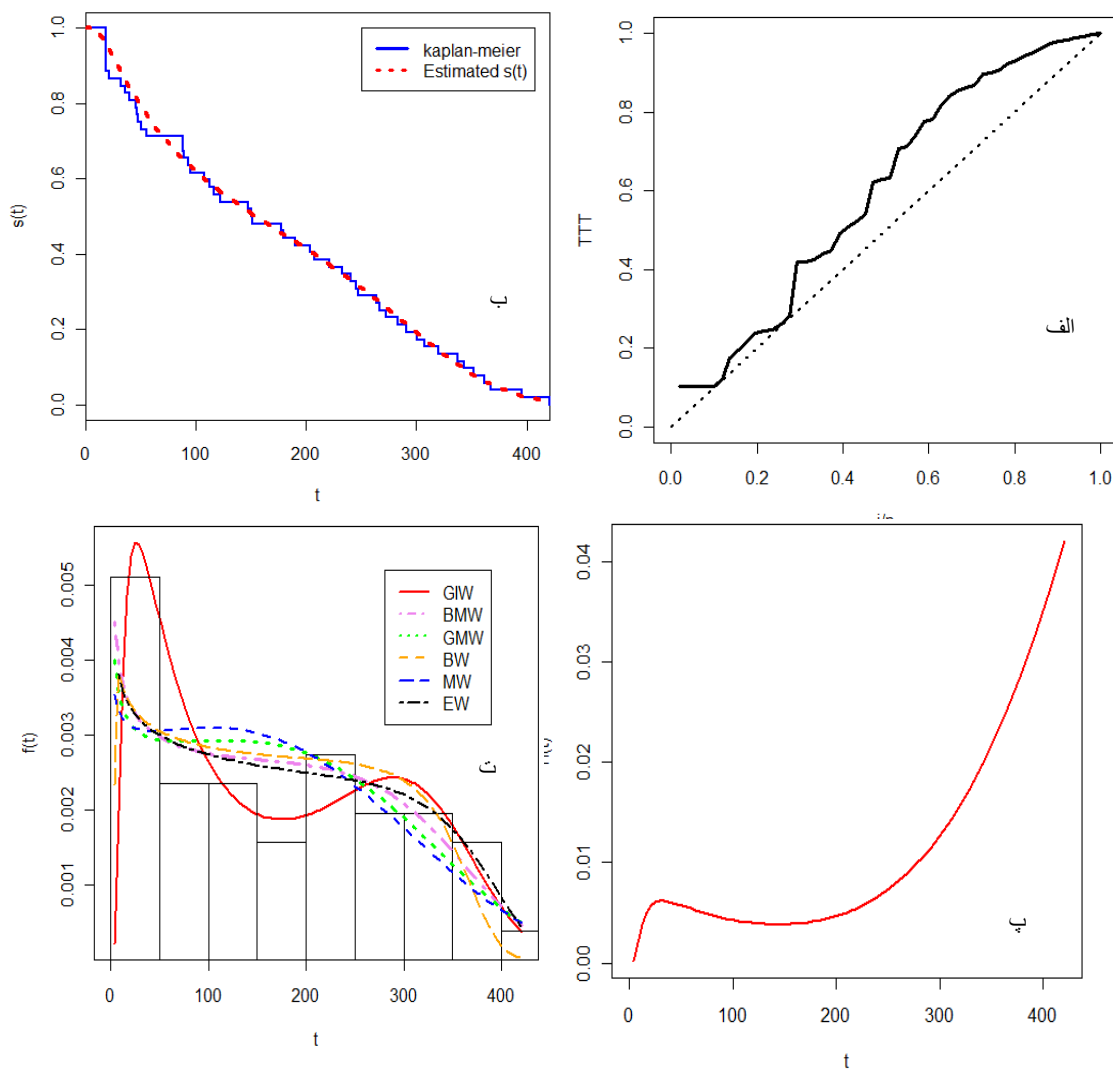
| BIC | AIC | برآورد پارامترها | | | | | | | مدل |
|--------|--------|----------------------|-----------------------|----------------------|------------------------|----------------------|------------------------|--|-----|
| | | \hat{b} | \hat{a} | $\hat{\beta}$ | $\hat{\lambda}$ | $\hat{\gamma}$ | $\hat{\alpha}$ | | |
| 620/9 | 616/3 | – | – | 4.6469 (1/3542) | 2.34e-12 (1/88e-11) | 0/69486 (0/1146) | 23/8126 (10/809) | | GIW |
| 634/9 | 626/2 | 0/41130 (0/06743) | 0/28476 (0/02714) | – | 0/00197 (3/6e-3) | 2/84030 (0/2043) | 126e-9 (16/72e-9) | | BMW |
| 632/6 | 624/8 | – | – | 0/64238 (0/1766) | 0/00348 (2/296e-3) | 1/4969 (0/38974) | 888e-7 (1/996e-4) | | GMW |
| 629/2 | 621/7 | 0/66448 (0/13746) | 0/102030 (0/01612) | – | – | 8/46334 (0/0624) | 3/03e-22 (79/2e-24) | | BW |
| 629/2 | 623/4 | – | – | – | 0/00310 (1/60e-3) | 0/88731 (0/24308) | 0/00464 (4/8e-3) | | MW |
| 626/66 | 619/7 | – | – | 0/09926 (0/0203) | – | 8/76983 (1/1908) | 2/64e-23 (1/89e-22) | | EW |
| 649 /1 | 648 /5 | – | – | – | – | 0/9762 (0/0169) | 64/990 (1/2769) | | IW |
| 626/8 | 622/9 | – | – | 0/64966 (0/09112) | – | – | 1/498e-6 (3/261e-6) | | GR |
| 629/4 | 626/6 | – | – | 0/00078 (0/0006) | 1/3662 (0/1666) | – | – | | W |

در جدول ۲ چند توزیع تعیین یافته بر پایه توزیع واپل برای مقایسه با توزیع جدید معرفی شده است که مقادیر آکائیک و بیزی و انحراف معیار برآورد پارامترها (مقادیر داخل پرانتز) این توزیع‌ها در جدول ۳ برای داده‌های زمان تکرار به جرم محاسبه شده‌اند.

مقادیر ماتریس واریانس برآورد پارامترها توزیع جدید برابر است با:

$$j(\hat{\theta})^{-1} = \begin{pmatrix} 116/8484 & 5.228 & 1.1774 & -7.429e-11 \\ 5.2287 & 1.8340 & 0/06517 & -2.553e-11 \\ 1.1774 & 0/06517 & 0/01315 & -9.25e-13 \\ -7.429e-11 & -2.553e-011 & -9.25e-13 & 3.55e-22 \end{pmatrix}$$

چنان‌که در جدول ۳ ملاحظه می‌شود با توجه به محک‌های AIC و BIC توزیع GIW دارای اطلاع آکائیک و بیزی کمتر و در نتیجه برآزش مناسب‌تری به داده‌ها است.



شکل ۳. (الف) نمودار TTT، (ب) منحنی کاپلان مایر بقا و برآوردهای بقا، (پ) برآورد تابع نرخ شکست، (ت) هیستوگرام داده‌ها و برآوردهای توزیع چگالی توزیع‌ها

شکل ۳ الف نشان می‌دهد که TTT برای مجموعه داده‌ها کاو است و بیان‌گر صعودی بودن تابع نرخ شکست است. شکل ۳ ب منحنی کاپلان مایر بقا و برآوردهای بقا برای مدل GIW رسم شده است، که بیان‌گر برآزش خوب مدل GIW به داده‌ها است. با توجه به شکل ۳ پ برآوردهای تابع نرخ شکست توزیع جدید صعودی نزولی صعودی است ولی در حالت کلی صعودی است که با منحنی TTT مطابقت دارد.

شکل ۳ ت هیستوگرام داده‌ها نشان می‌دهد که توزیع GIW توزیع مناسبتری برای برآرash داده‌ها است و چنان‌که مشاهده می‌شود تابع چگالی توزیع جدید برای این داده‌ها شکل دومدی دارد. مقدارهای ماکزیمم درستنمایی را تحت محدودیت و غیر محدودیت محاسبه و مقدار آماره LRT را بهدست می‌آوریم. برای مثال آزمون $H_0 : \lambda = 0$ در مقابل $\lambda \neq 0$ با مقایسه توزیع IW با GIW است که آماره نسبت درستنمایی برابر است با:

$$w = 2\{(-303/6) - 322/2\} = 18/5$$

با $p-value < 0.01$ بنابراین توزیع GIW تأیید می‌شود.

۲. مثال دوم

داده‌های جدول ۴ زمان شکست ۵۰ دستگاه است که اولین بار آرست [۱] (۱۹۸۷) تجزیه و تحلیل کردند. نتایج مدل‌های GMW, EW, BMW, BW, GR, W از سیلو و همکاران (۲۰۱۰) استخراج و با نتایج توزیع جدید مقایسه شده است.

جدول ۴. زمان شکست ۵۰ دستگاه (داده‌های آرست)

| |
|--|
| 0/1 0/2 1 1 1 1 1 2 3 6 7 11 12 18 18 18 18 18 21 32 36 40 45 46 47 50 55 60 63 63 67 67 67 67 72 75 79 82 82 83 84 84 85 85 85 85 85 86 86 |
|--|

جدول ۵. برآورد ماکزیمم درستنمایی پارامترها داده‌های آرست

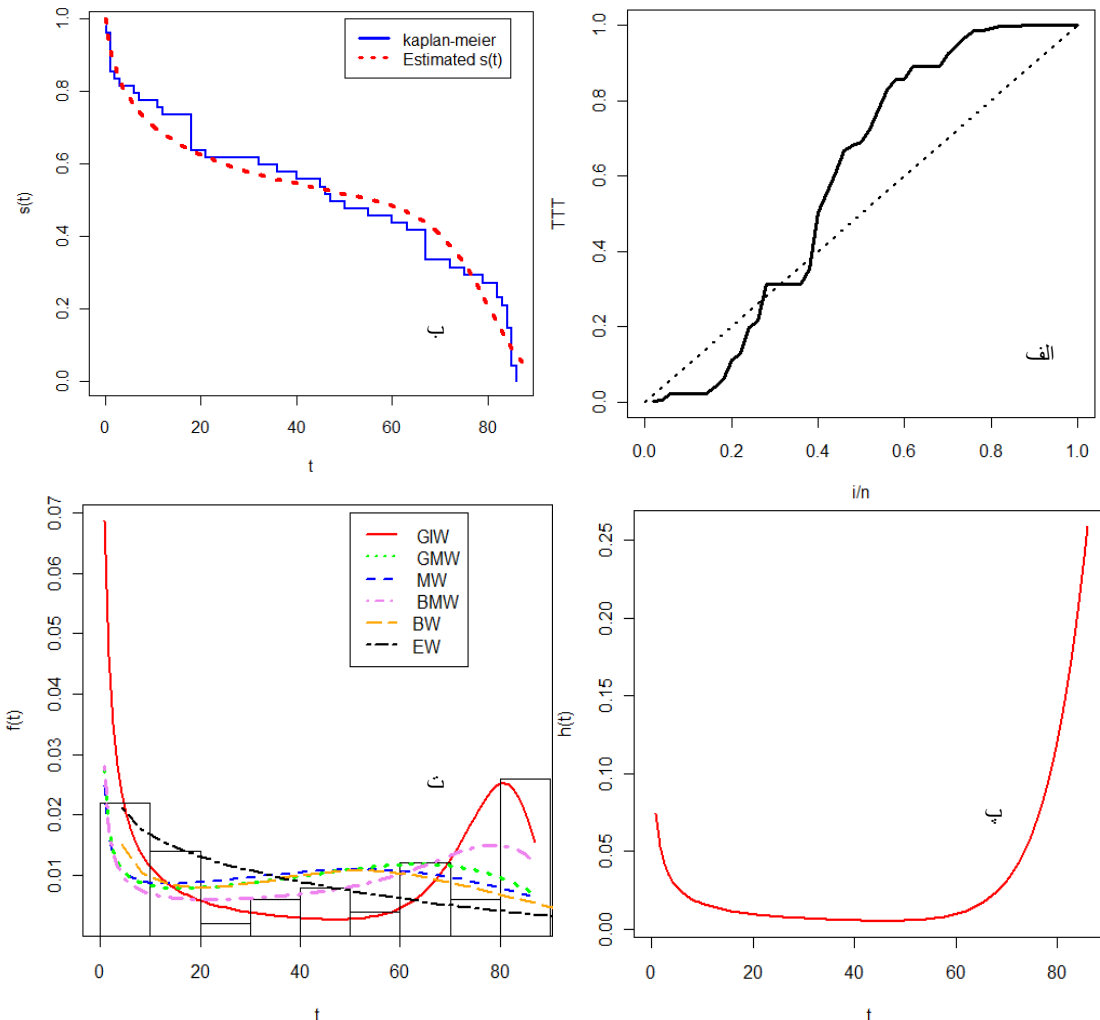
| BIC | AIC | برآورد پارامترها | | | | | | | مدل |
|-------|-------|--------------------|---------------------|--------------------|------------------------|--------------------|---------------------|--|-----|
| | | $\hat{\beta}$ | $\hat{\alpha}$ | $\hat{\beta}$ | $\hat{\lambda}$ | $\hat{\gamma}$ | $\hat{\alpha}$ | | |
| 446/8 | 439/2 | – | – | 10/627 (0/9761) | 5/91e-21 (2/56e-20) | 0/3163 (0/0455) | 2/5231 (0/3858) | | GIW |
| 461/2 | 451/6 | 0/1647 (0/0830) | 0/1975 (0/0462) | – | 0/0541 (0/0157) | 1/3771 (0/3387) | 0/0002 (6/69e-5) | | BMW |
| 463/4 | 455/8 | – | – | 0/2975 (0/0613) | 0/0529 (0/0183) | 0/9942 (0/2396) | 0/0002 (0/0001) | | GMW |
| 471/6 | 463/9 | 0/0748 (0/0353) | 0/18356 (0/0509) | – | – | 2/3615 (0/1715) | 0/0007 (0/0004) | | BW |
| 466/0 | 460/3 | – | – | – | 0/0233 (0/0048) | /3548 (/1127) | /0624 (/0267) | | MW |
| 486/2 | 480/5 | – | – | 0/4668 (0/0889) | – | 1/5936 (0/1858) | 0/0011 (0/0010) | | EW |
| 537/8 | 534/0 | – | – | – | – | 0/4633 | 2/6502 | | IW |
| 479/7 | 475/9 | – | – | 0/3643 (0/0624) | – | – | 0/0002 (4/87e-5) | | GR |
| 485/4 | 486/0 | – | – | – | – | 0/949 (1/01e-2) | 0/949 (1/01e-2) | | W |

در جدول ۵ برآورد پارامترها برای داده‌های زمان شکست ۵۰ دستگاه و انحراف معیار برآورد پارامترها (مقادیر داخل پرانتز) بهدست آمده است.

مقادیر ماتریس واریانس برآورد پارامترها برابر است با:

$$j(\hat{\theta})^{-1} = \begin{pmatrix} 0.1488 & 3.13e - 3 & 6.45e - 3 & - 6.69e - 23 \\ 3.13e - 3 & 0.9529 & 4.22e - 3 & - 2.50e - 20 \\ 6.45e - 3 & 4.22e - 3 & 2.07e - 3 & - 1.19e - 22 \\ - 6.69e - 23 & - 2.50e - 20 & - 1.19e - 22 & 6.58e - 40 \end{pmatrix}$$

چنان‌که در جدول ۵ ملاحظه می‌شود با توجه به محک‌های AIC و BIC توزیع GIW دارای اطلاع آکائیک و بیزی کمتر و در نتیجه برآراش مناسبتری به داده‌ها است.



شکل ۴. (الف) نمودار TTT، (ب) منحنی کاپلان مایر بقا و برآورد تابع بقا، (پ) برآورد تابع نرخ شکست، (ت) هیستوگرام داده‌ها و برآوردهای توزیع چگالی توزیع‌ها

شکل ۴ الف نشان می‌دهد که TTT برای مجموعه داده‌ها کوثر و سپس کاو است، که بیان‌گر این است تابع نرخ شکست وان شکل است. شکل ۴ ب منحنی کاپلان مایر بقا و برآورد تابع بقا مدل GIW رسم شده است که بیان‌گر برآراش خوب مدل GIW به داده‌ها است. با توجه به شکل ۴ پ برآورد تابع نرخ شکست توزیع جدید وان شکل است که با منحنی TTT مطابقت دارد. شکل ۴ ت هیستوگرام داده‌ها نشان می‌دهد که توزیع GIW توزیع مناسبتری برای برآراش به داده‌ها است برای این داده‌ها تابع چگالی توزیع جدید شکل نزولی صعودی نزولی را دارد که از ویژگی‌های انعطاف‌پذیری توزیع است.

مقدارهای ماکزیمم درستنمایی را تحت محدودیت و غیرمحدودیت محاسبه و مقدار آماره LRT را به دست می‌آوریم. برای مثال آزمون $0 = \lambda : H_0$ در مقابل $\lambda \neq H_1$ معادل با مقایسه توزیع IW با GIW است که آماره نسبت درستنمایی برابر است با:

$$w = 2\{(-215/6) - 265/0\} = 49/4$$

با $p - value </01$ بنابراین توزیع GIW تایید می‌شود.

نتیجه‌گیری

در این مقاله توزیع جدید تحت عنوان تعیم توزیع وایبل معکوس (GIW) معرفی شد.تابع چگالی GIW علاوه بر نزولی و تکنما، دومدی نیز هست و شکل هندسی تابع نرخ شکست آن نزولی، سعودی، و ان شکل، تکنما و سعودی نزولی سعودی است، که این امر به انعطاف‌پذیری توزیع می‌افزاید. رفتار ریاضی این توزیع که در برگیرنده گشتاور مرکزی، تابع چگالی آماره‌های ترتیبی، پارامتر قابلیت اعتماد، تابع نرخ شکست، تابع بقا، برآورد پارامترها به روش ماکزیمم درستنمایی را محاسبه و کاربرد توزیع پیشنهادی را در قالب دو مثال کاربردی با برخی توزیع‌های تعیم یافته بر پایه توزیع وایبل مقایسه شد.

تشکر و قدردانی

از دست اندکاران نشریه و داوران محترم که کمک به بهبود کیفیت و پربارتر شدن مقاله کرده‌اند قدردانی و تشکر می‌کنیم.

منابع

1. Aarset M.V., "How to identify bathtub hazard rate", IEEE Transactions on Reliability 36, (1987) 106-108.
2. Bebbington M., Lai C.D., Zitikis R., "A flexible Weibull extension", Reliability Engineering and System Safety 92 (2007) 719-726.
3. Barlow R.E., Campo R., "Total time on test processes and applications to failure data analysis", In: Reliability and Fault Tree Analysis. Society for Industrial and Applied Mathematics (1975) 451-481.
4. Carrasco J.M.F., Ortega E.M.M., Cordeiro G.M., "A generalized modified Weibull distribution for lifetime modeling", Comput Stat Data Anal, 53 (2008) 450-462.
5. Chen, Z., "A new two-parameter lifetime distribution with bathtub shape or increasing failure rate function", Statistics and Probability Letters 49 (2001) 155-161
6. Felipe R.S., Edwin M.M.O., Cordeiro M., "The generalized inverse Weibull distribution", Stat Papers 52 (2011) 591-616.

7. Haupt E., Schabe H., "A new model for a lifetime distribution with bathtub shaped failure rate", *Microelectronics and Reliability* 32 (1992) 633-639.
8. Kundu D., Rakab M.Z., "Generalized Rayleigh distribution: different methods of estimation", *Comput Stat Data Anal* 49 (2005) 187-200.
9. Keller A.Z, Kamath A.R., "Reliability analysis of CNC machine tools", *Reliab Eng* 3 (1982) 449-473.
10. Lai C.D, Xie M., Murthy D.N.P., "A modified Weibull distribution", *IEEE Transactions on Reliability* 52 (2003) 33-37.
11. Lehmann E.L., Casella G. "Theory of point estimation", 2nd Edn. Chpman and Hall New York (1998).
12. Lee C, Famoye F, Olumolade O., "Beta-Weibull distribution: some properties and applications to censored data", *J Mod Appl Stat Methods* 6 (2007) 173-186.
13. Mudholkar G.S., Srivastava D.K., Friemer M., "The exponentiated Weibull family: A reanalysis of the bus-motor-failure data", *Technometrics* 37(1995) 436-445.
14. Pham H., Lai C.D., "On recent generalizations of the Weibull distribution", *IEEE Transactions on Reliability* 56 (2004) 454-458.
15. Rajarshi S., Rajarshi M.B., "Bathtub distributions: A review. Communications in Statistics- Theory and Methods 17 (1988) 2521-2597.
16. Sarhan A.M., Zaindin M., "Modified Weibull distribution", *Applied Sciences*, Vol.11 (2009) 123-136.
17. Silva G.O., Edwin M.M.O., Gauss M.C., "The beta modified Weibull distribution", *Lifetime Data Anal* 16 (2010) 409-430.
18. Stollmack S., Harris C.M, "Failure-reatate analysis applied to recidivism data", *Operations Research* 22(6) (1974) 1192-1205.
19. Xie M., Lai C.D., "Reliability analysis using an additive Weibull model with bathtub-shaped failure rate function", *Reliability Engineering and System Safety* 52 (1995) 87-93.
20. Xie M., Tang Y., Goh T.N., "A modified Weibull extension with bathtub failure rate function", *Reliability Engineering and System Safety* 76 (2002) 279-285.